

Э. В. Матизен, С. М. Ишикаев

Институт неорганической химии им. А. В. Николаева СО РАН
пр. Акад. Лаврентьева, 3, Новосибирск, 630090, Россия
E-mail: matizen@.che.nsk.su; salavat@.che.nsk.su

ОСОБЕННОСТИ НАМАГНИЧИВАНИЯ РЕАЛЬНЫХ ДЖОЗЕФСОНОВСКИХ РЕШЕТОК^{*}

Исследовано магнитное поведение больших джозефсоновских решеток (100×100 ячеек) с переходами сверхпроводник – изолятор – сверхпроводник (SIS) и сверхпроводник – плохой металл – сверхпроводник (SNS), включая образцы с контролируемым нарушением в порядке ячеек, в интервале магнитных полей до 200 Ое и при температурах 2,2 – 11 К. Показано, что нарушение порядка не влечет за собой существенных изменений в магнитном поведении решеток: в SNS-решетках по-прежнему наблюдается необъяснимая асимметрия кривой гистерезиса, и в них не возникает самоорганизованной критичности, как это имеет место в SIS-решетках.

Джозефсоновские структуры породили целое научно-техническое направление и до сих пор являются одной из интересных и актуальных проблем физики твердого тела и физики низких температур. Явление джозефсоновской генерации позволяет заполнить пустующую нишу в частотном диапазоне десятков и сотен мегагерц. На основе таких структур возможны хранение и обработка информации в виде квантов магнитного потока – RSFQ-логика (Rapid Single Flux Quantum Logic) [1] и реализация квантового компьютера. В джозефсоновских решетках (J-решетки) возможно когерентное излучение отдельных контактов, что значительно повышает эффективность таких генераторов. Уже создан и успешно протестирован гетеродинный приемник излучения на рабочую частоту 500 Гц, способный принимать сигналы очень малой мощности ($\sim 10^{-13}$ Вт) [2].

Магнитная динамика J-решеток, лежащая в основе практического применения этих структур, изучалась во множестве теоретических исследований (см., например, [3–7]). Экспериментальные исследования J-решеток и J-стопок до сих пор в основном ограничены изучением вольт-амперных характеристик. И хотя исследования транспортных характеристик J-решеток ведутся уже достаточно давно (см., например, [8]), решетки таких больших размеров, как в настоящей работе, до нас экспериментально практически не исследовались. Особо сле-

дует отметить, что поведение магнитного момента изучено лишь в нескольких экспериментальных работах [9; 10], а также в наших публикациях [11–13].

Настоящее исследование посвящено изучению процессов намагничивания с целью понимания особенностей поведения реальных J-решеток, поскольку наблюдаемая магнитная динамика в регулярных решетках существенно расходится с теоретическим описанием.

Во-первых, согласно теоретическим расчетам, в регулярной J-решетке не предполагается реализация динамического состояния самоорганизованной критичности (СОК) при ее намагничивании, в то время как мы ее наблюдали.

Во-вторых, в J-решетках наблюдается асимметрия кривой намагничивания, что также не согласуется с теоретическими работами.

Одно из объяснений такого расхождения теории и опыта может состоять в том, что существует слабая нерегулярность изготовленных нами образцов решетки, обусловленная технологическими допусками оптической литографии. Действительно, после первого нашего сообщения [11] о наблюдении СОК в регулярных джозефсоновских решетках, группа С. Л. Гинзбурга в компьютерном моделировании показала, что такое возможно в слабо нерегулярных J-решетках (до нескольких процентов в параметре ячейки) [14]. В дальнейшем С. Л. Гинзбург

* Работа выполнена при финансовой поддержке СО РАН (Междисциплинарный интеграционный проект № 81).

с соавторами показал [15], что для реализации СОК в его модели требуется существенно большая степень нерегулярности в периоде решетки, выше 20 %, что заведомо сильно превышает технологический разброс изготовленных нами решеток. Таким образом, приходится констатировать, что к настоящему времени нет адекватного теоретического объяснения реализации СОК в практически регулярной решетке. Мы полагаем, причина в том, что численное моделирование строится на упрощенных уравнениях, которые не отражают все существенные динамические связи между джозефсоновскими контактами.

Топология и свойства исследованных решеток

Схематически J-решетки представляют собой сетки из сверхпроводника, в ребра которых вставлены джозефсоновские переходы. Изучались два дизайна решеток с SIS- и SNS-переходами и отличавшихся формой сверхпроводящих островков (восьмиугольник и крест). Конфигурация в форме креста отличалась большей индуктивностью ячейки и примерно вчетверо большей площадью контакта, что позволяло достичь больших критических токов (рис. 1).

Решетки были получены с помощью пленочной технологии. Сначала осаждалась пленка ниобия толщиной ~ 100 нм методом магнетронного распыления в разряде постоянного тока в атмосфере аргона с давлением $\sim 10^{-2}$ мбар. Далее фотолитографией с последующим химическим травлением в смеси плавиковой и азотной кислот получалась структура нижнего сверхпроводящего слоя. Изолирующий слой окиси кремния (моноокись кремния SiO) толщиной ~ 150 нм осаждался методом термического вакуумного испарения. Для получения окон в пленке SiO , в которых в последствии формировался джозефсоновский контакт, использовался процесс взрывной фотолитографии (lift-off). После вскрытия в слое окиси кремния окон для джозефсоновских контактов, нанесения слоя фоторезиста и формирования в нем изображения для последующего процесса lift-off производилась ионная очистка поверхности. Затем для SIS-переходов формировалась туннельная прослойка NbO_x регулируемым окислением поверхности ниobia в смеси аргона и кислорода, в случае SNS-переходов использовалась прослойка «грязного» металла $\text{Cu}_{0,95}\text{Al}_{0,05}$. Верхний свинцовый слой по-

лучен сразу же аналогично второму, методом вакуумного испарения, сразу же после формирования туннельной прослойки (в одном вакуумном цикле), с дальнейшим формированием структуры с помощью взрывной фотолитографии. Основные характеристики решеток приведены в таблице.

Характеристики J-решеток

Тип перехода	SIS	SNS
Структура перехода	$\text{Nb}-\text{NbO}_x-\text{Pb}$	$\text{Nb}-\text{Cu}_{0,95}\text{Al}_{0,05}-\text{Nb}$
Число ячеек	64×64	100×100
Размер ячеек, мкм	20×20	20×20
Площадь контакта, мкм	~ 25	~ 7
Критический ток при 4,2 К, мкА	$\sim 1\,800$	1 500
Нормальное сопротивление, мОм	$\sim 0,7$	10^{-3}
Индукция ячейки, Гн	$\sim 10^{-11}$	$2,5 \cdot 10^{-12}$
Емкость перехода, пФ	~ 3	$\sim 0,01$

Методика измерений

Намагничивание J-решетки изучалось при помощи оригинального СКВИД-магнитометра с особенностями приемных катушек, конфигурация которых представляла собой модифицированный градиометр второго порядка [16]. Конфигурация симметричного градиометра обладает эффектом самокомпенсации сигнала штока-держателя образца, а центральная часть приемных катушек имеет конфигурацию типа катушек Гельмгольца и позволяет получить высокую пространственную однородность чувствительности. При чувствительности по магнитному моменту 10^{-13} Ам^2 магнитометр позволяет проводить измерения не только в режиме измерения температурной зависи-

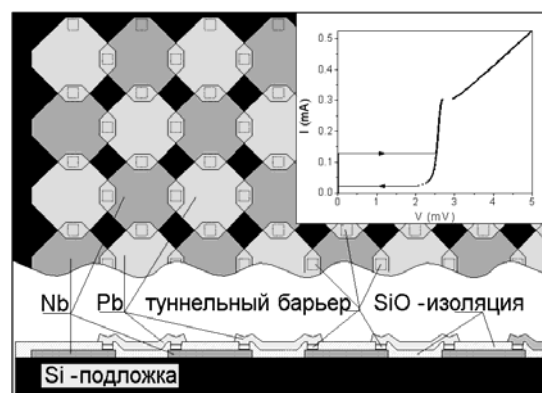


Рис. 1. Джозефсоновская решетка (восьмиугольник)

ности момента при замороженном в сверхпроводящем соленоиде поле, но и при постоянной температуре в режиме развертки по полю, т.е. имеется возможность непрерывно получать полные петли гистерезиса.

Результаты исследования

Мы уже отмечали в предыдущих публикациях, что магнитное поведение J-решеток с переходами SIS и SNS различно [17]. Магнитные свойства J-решеток связаны в первую очередь с квантованием потока в сверхпроводнике, что делает удобным наглядное описание на языке динамики квазичастиц – флюксоносов. Взаимодействие флюксоносов с периодическим потенциалом, а также их взаимодействие между собой обуславливает многие особенности магнитной динамики J-решетки.

В SIS-решетках наблюдается состояние СОК, что проявляется в резких спонтанных скачках магнитного момента при непрерывном изменении поля при достаточно низких температурах, т. е. когда выполняется критерий $\lambda(T) \gg a$, или равносильное неравенство $LI_0 / \Phi_0 \gg 1$, где $\lambda(T) = \Phi_0 / (\pi\mu_0 j_c(T))$ – джозефсоновская глубина проникновения поля

в J-решетку, a – период решетки, $j_c(T)$ – критический ток отдельного перехода, L – индуктивность одной ячейки. Магнитный поток внутри решетки при этом представляет дискретные флюксоны, локализованные внутри отдельных ячеек. Критерий $LI_0 / \Phi_0 \gg 1$ был проверен непосредственными измерениями критического тока отдельного контакта SIS-решетки методом ВАХ [13].

Распределение по амплитудам скачков магнитного момента, представляющих собой лавины квантов магнитного потока, носит степенной характер с кроссовером, т. е. состоит из двух участков выраженной степенной зависимости и достаточно резкого переходного участка, когда показатель степени n резко изменяется. На рис. 2 представлены распределения лавин по их амплитуде для нескольких исследованных нами J-решеток.

Фурье-спектр мощности лавин SIS-решетки имеет также степенную зависимость (рис. 3). Следует обратить внимание, что при СОК лавины наблюдаются как при непрерывном повышении поля, так и при его понижении.

При более высоких температурах петля гистерезиса имеет характерные периодические пики, с периодом по полю $\Delta H = \Phi_0 / a^2$, т. е. при целочисленных фрустрациях, когда на каждую ячейку приходится по целому числу флюксоносов. Периодичность магнитных свойств сеток следует из симметрии гамильтониана J-решетки относительно преобразования $H \rightarrow H + \Phi_0 / a^2$. Также наблюдаются небольшие пики в промежутках, связанные с увеличением тока депиннинга в моменты соразмерности решетки флюксоносов и J-решетки.

В SNS-решетках в отличие от SIS-решеток СОК не наблюдается ни при каких температурах, несмотря на столь большую величину критического тока, так что критерий возникновения СОК [14] заведомо выполняется (см. табл.). В них тоже, как и в SIS-решетках, на кривых намагничивания наблюдаются равноотстоящие пики магнитного момента при всех температурах, но только при *увеличении* поля, при уменьшении поля они отсутствуют (рис. 4).

Таким образом, наблюдается асимметрия в динамике входа и выхода флюксоносов в джозефсоновскую решетку. Поскольку наличие пики на кривой намагничивания свидетельствует о появлении регулярной пространственной структуры в распределении вихрей, можно сделать вывод, что джо-

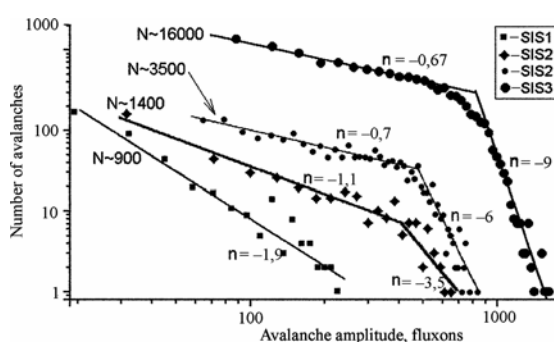


Рис. 2. Проявление СОК (N – число лавин)

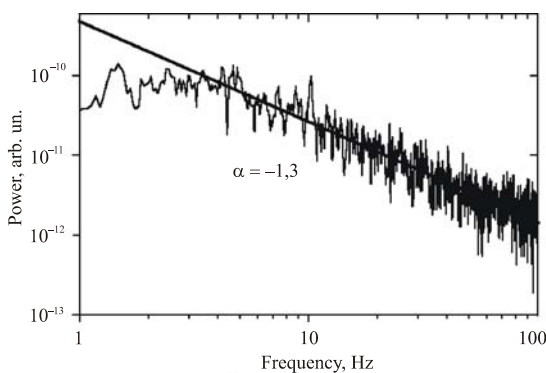


Рис. 3. Спектра Фурье мощность
(α – показатель степени)

зифсоновские вихри входят в решетку с образованием регулярных структур в распределении по решетке, а выходят весьма беспорядочно.

Поэтому мы попытались изучить влияние на асимметрию петли гистерезиса нарушений порядка, механически разрушая часть ячеек на границе, и измеряли зависимость магнитного момента после этих нарушений, надеясь на возможное появление СОК в SNS-решетках при повышении хаоса в J-решетке. К тому были, в основном, две причины. Первая из них заключалась в том, что согласно теории [14] именно беспорядок в расположении ячеек приводит к СОК, вторая причина была в надежде изменить режим движения вихрей при выходе их из решетки.

На рис. 5 приведены петли гистерезиса SNS-решетки с различным количеством удаленных ячеек из центральной области, причем ячейки удалялись механическим путем с помощью скрайбирования. Удаленная область имела вид квадрата с неровными сторонами, в среднем примерно параллельными внешним сторонам решетки.

Из рисунка видно, что явление СОК и в этом случае не проявилось.

Для дальнейшего выяснения вопроса о влиянии беспорядка в J-решетках для СОК были проведены измерения магнитного момента при намагничивании гранулированных пленок и керамик ВТСП при температуре 4,2 К с целью обнаружить лавинообразное движение магнитного потока, реализация которого ожидалась согласно [14].

Проведенные исследования также не обнаружили лавин, вероятно из-за того, что межзеренные контакты в ВТСП-керамиках состоят в основном из SNS-переходов. Если явление СОК как-то можно объяснить нерегулярностью параметра ячейки, то отсутствие пиков магнитного момента при уменьшении поля до сих пор не поддается объяснению, несмотря на то, что мы опубликовали это загадочное явление еще в 2002 г. [12].

Предполагалось, что асимметрия кривой гистерезиса связана с условиями на границах решетки, в результате которых возможны некоторые запорные слои для движущихся квантов потока. Для понимания этого мы сначала удалили углы квадратной решетки, а потом нарушили ячейки на ее периферии. Рис. 6 демонстрирует, что такие нарушения не уменьшили асимметрию кривой намагченности, но даже привели к небольшому ее увеличению.

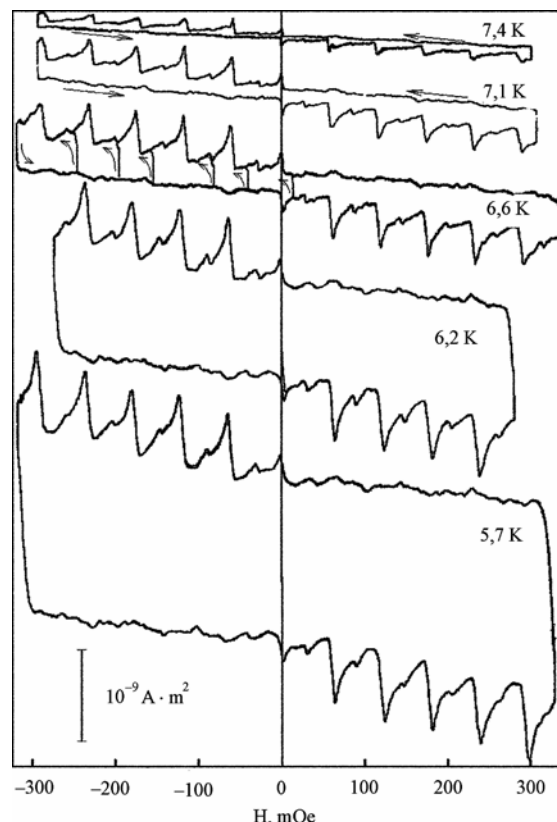


Рис. 4. Кривые гистерезиса SNS-решетки

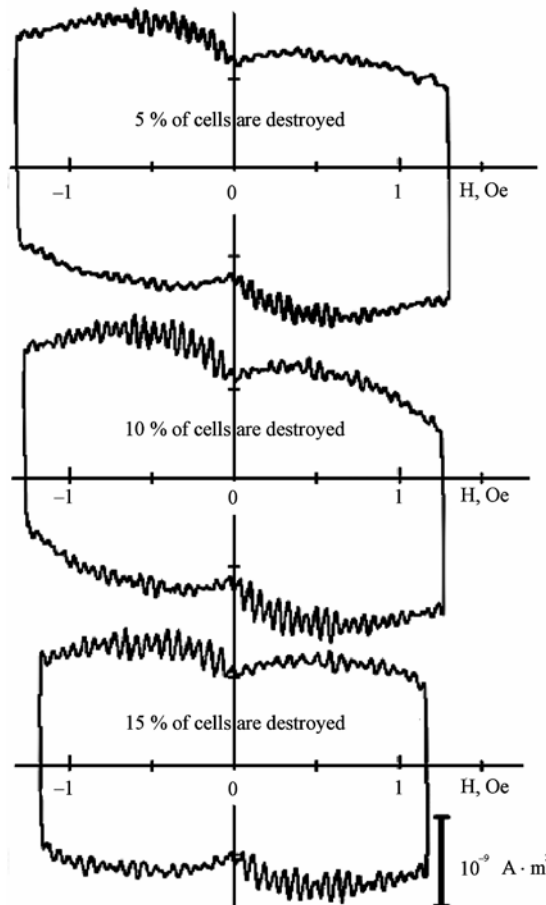


Рис. 5. SNS-решетка, нарушенная в центре

Заключение

На основании проведенных исследований можно заключить, что магнитное поведение SIS- и SNS-решеток резко отличается друг от друга. В SIS-решетке наблюдается явление СОК. В SNS-решетке мы это явление вызвать не смогли, хотя критерий его наблюдения, согласно теории, заранее выполнен, как и в ВТСП-керамиках и пленках, в которых также СОК не наблюдается. По-видимому, отсутствие спонтанных лавин в этих объектах как-то связано со свойствами самих SNS-контактов. Очевидно, квазигидродинамическое движение потока в решетке объясняется значительным вязким трением при прохождении вихрей сквозь нормальный металл SNS-переходов, в результате чего флюксоны не набирают кинетической энергии, необходимой для образования лавин. Действительно, в SNS-переходах параметр МакКамбера $\beta \ll 1$ [18], а в SIS-переходах $\beta \gg 1$. Возможно, в развивающихся теориях необходимо как-то учитывать инерциальные члены, влияющие на динамику магнитного потока в J-решетках даже при медленных изменениях магнитного потока.

Представленные нами работы пока остаются единственными, где исследовалось поведение магнитного момента при непрерывном намагничивании регулярных J-решеток и в которых наблюдались СОК и асимметрия кривой гистерезиса. Данное направление очевидно является важным. Недаром один из основателей теории СОК Курт Визенфельд (Kurt Wiesenfeld) недавно отметил, что J-решетки являются идеальным искусственным объектом для изучения СОК [19].

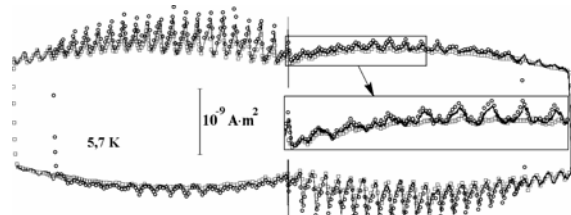


Рис. 6. SNS-решетка, нарушенная на периферии. Кружки – исходная решетка, сплошная линия – удаленные углы, квадраты – удалены углы и повреждены края

Список литературы

- Шмидт В. В. Введение в физику сверхпроводников МЦНМО (Московский центр непрерывного математического образования). М., 2000. С. 397.
- Shitov S. V., Levitchev M., Veretennikov A. V. et al. Integrated superconducting receiver as 400–600 GHz tester for coolable devices // IEEE Transactions on applied superconductivity. 2001. Vol. 11. No. 1. P. 832–835.
- Chen D.-X., Sanches A., Hernando A. Magnetic dynamic hysteresis of a resistively shunted Josephson -junction array // Phys. Rev. B. 1994. Vol. 50. No. 14. P. 10342–10345.
- Dominguez D., Jose J. V. Magnetic and transport DC properties of inductive Josephson-junction arrays // Phys. Rev. B. 1996-I. Vol. 53. No. 1. P. 11692–11713.
- Luca R. D., Matteo T. O., Tuohimaa A. et al. Tree-dimensional Josephson junction arrays: static magnetic response // Phys. Rev. B. 1998. Vol. 57. P. 1173–1180.
- Philips J. R., Zant H. S. J. van der, White J. et al. Influence of induced magnetic fields on the static properties of Josephson-junction arrays // Phys. Rev. B. 1993. Vol. 47. P. 5219–5229.
- Sergeenkov S., Araujo-Moreira F. M. Manifestation of geometric effect in temperature behavior of AC magnetic response of Josephson-junction arrays // JETP Lett. 2004. Vol. 80. No. 80. P. 580–583.
- Webb R. A., Voss R. F., Grinstein G. et al. Magnetic field behaviour of a Josephson-junction array: two-dimensional flux transport on a periodic substrate // Phys. Rev. Lett. 1983. Vol. 51. No. 8. P. 690–693.
- Herbert S. T. Jun Y., Newrock R. S. et al. Effect of finite size on the Kosterlitz-Thouless transition in two-dimensional arrays of proximity-coupled junctions // Phys. Rev. B. 1998-II. Vol. 57. No. 2. P. 1154–1163.
- Maluf W. Jr., Cecato G. M., Barbara P. et al. Magnetic properties of SIS and SNS Josephson junction arrays // J. of Magnetism and Magnetic Material. 2001. Vol. 226–230. P. 290–292.
- Ишикаев С. М., Матизен Э. В., Рязанов В. В. и др. Магнитные свойства двумерных джозефсоновских сеток. Самоорганизованная критичность в динамике магнитного потока // Письма в ЖЭТФ. 2000. Т. 72, № 1. С. 39–44.
- Ишикаев С. М., Матизен Э. В., Рязанов В. В. и др. Магнитные свойства двумер-

- ных джозефсоновских сеток с SNS- переходами // Письма в ЖЭТФ. 2002. Т. 76, № 3. С. 194–198.
13. Матизен Э. В., Ишикаев С. М., Обознов В. А. Магнитный момент квадратных джозефсоновских сеток. Самоорганизованная критичность // ЖЭТФ. 2004. Т. 126, № 5 (11). С. 1–11.
14. Гинзбург С. Л., Савицкая Н. Е. Возникновение Самоорганизации критического состояния в одномерном многоконтактном СКВИДЕ как следствие случайного расположения контактов // Письма в ЖЭТФ. 2001. Т. 73, № 1–2. С. 163–166.
15. Ginzburg S. L., Savitskaya N. E. Granular superconductors and a sandpile model with intrinsic spatial randomness // Phys. Rev. E. 2002. Vol. 66. No. 2. P. 026128–026133.
16. Ишикаев С. М. Оптимальная конфигурация приемных катушек СКВИД-магнитометра // Приборы и техника эксперимента. 2002. № 3. С. 145–150.
17. Ishikaev S. M., Matizhen E. V., Ryazanov V. V. et al. Magnetic properties of square Josephson arrays with SIS and SNS junctions // Physica C. 2003. Vol. 388–389. P. 583–584.
18. Rzchowski M. S., Benz S. P., Tinkham M. et al. Vortex pinning in Josephson-junction arrays // Phys. Rev. B 42. 1990. No. 4. P. 2041–2050.
19. Wiesenfeld K., Linder J. Magnetic Avalanches: Josephson, Bean, and Bak // Physica A. 2004. Vol. 340. P. 617–624.

Материал поступил в редакцию 28.11.2006